



## Digitale Bildverarbeitung

1. Einführung
2. Digitalisierung
3. Technische Komponenten
4. Grauwertstatistik
5. Punktoperatoren
6. Lokale Operatoren
7. Globale Operatoren
8. Merkmalsextraktion
9. Klassifikation
10. Codierung



## Globale Operatoren

Für nicht zu große Koeffizientenmatrizen sind die lokalen Operatoren eine bequeme und einfache Methode zur Filterung.

- Bei großen Koeffizientenmatrizen
- oder
- Ist die Angabe der Koeffizientenmatrix nicht möglich oder unbekannt

—> Anwendung von **Globalen Operatoren**

### Definition:

Globale Operatoren beziehen in den Operationsprozess sämtliche Pixel (und zwar Koordinaten und Grauwerte der Pixel) des Ursprungsbildes mit ein.

### Theoretische Voraussetzungen:

#### 8.1 Fourier - Reihe

Aus der Signalverarbeitung ist uns bekannt, daß eine beliebige periodische Funktion durch eine Reihe von Sinus- und Cosinus-Funktionen darstellbar ist.

$$f(t) = \frac{A_0}{2} + \sum_{n=1}^{\infty} [A_n \cdot \cos(n \cdot \omega t) + B_n \cdot \sin(n \cdot \omega t)]$$

nach Euler gilt:  $\cos \omega t + j \sin \omega t = e^{j\omega t}$  (siehe Bild1)

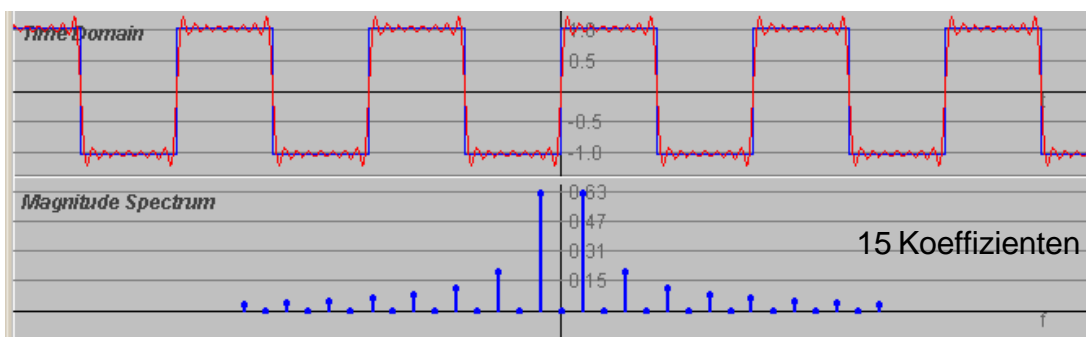
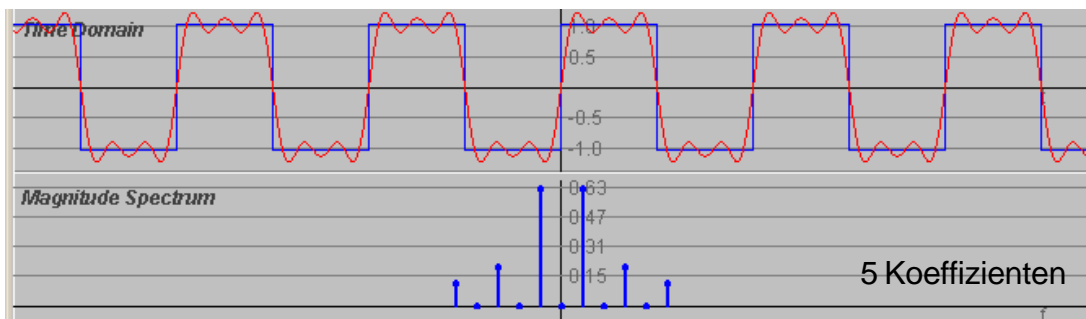
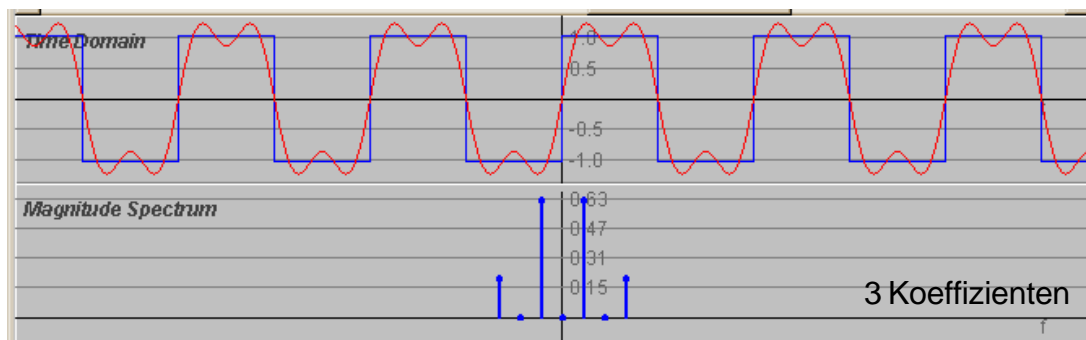
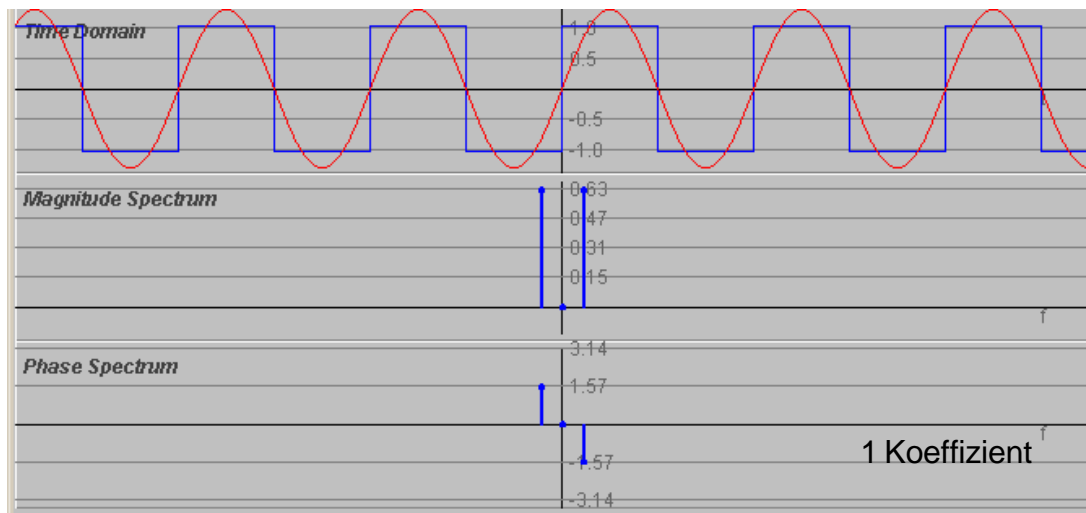
Dehnt man den Summationsprozess auf  $-\infty$  bis  $+\infty$  aus, so läßt sich die komplexe Form ableiten:

mit  $f(t) = \sum_{n=-\infty}^{\infty} C_n e^{jn\omega t}$

$$A_0 = C_0$$

$$A_n = \operatorname{Re}\{C_n\}$$

$$B_n = \operatorname{Im}\{C_n\}$$



Zusammensetzung einer periodischen Funktion aus sinus-förmigen Teilsignalen



Zur Berechnung der Koeffizienten lassen sich folgende Beziehungen angeben:

$$A_0 = \frac{1}{T} \int_{-T/2}^{T/2} f(t) dt \quad \text{Gleichanteil}$$

$$A_n = \frac{2}{T} \int_{-T/2}^{T/2} f(t) \cdot \cos(n\omega t) dt \quad \text{Realanteil (Amplitude)}$$

$$B_n = \frac{2}{T} \int_{-T/2}^{T/2} f(t) \cdot \sin(n\omega t) dt \quad \text{Imaginärteil (Phase)}$$

Für die komplexen Koeffizienten gilt:

$$C_n = \frac{1}{T} \int_{-T/2}^{T/2} f(t) \cdot e^{-jn\omega t} dt$$

## 8.2 Fourier - Transformation

In 8.1 wurde gezeigt, daß periodische Signale durch eine Summe von Sinus- und Cosinus-Funktionen darstellbar sind.

In der Natur, in der Nachrichtentechnik, Informationstechnik, Bildverarbeitung usw. sind die *Signale im allgemeinen nichtperiodisch*.

Fouriers großer Verdienst war die Erweiterung auf *aperiodische Signale*.

Für die Fouriertransformation gilt allgemein:

$$F(j\omega) = \int_{-\infty}^{\infty} f(t) \cdot e^{-j\omega t} dt$$

$$f(t) = \frac{1}{2\pi} \int_{-\infty}^{\infty} F(j\omega) \cdot e^{j\omega t} d\omega$$



### 8.2.1 Diskrete Fourier - Transformation (DFT)

Beim diskreten Fall geht  $dt$  in ein endliches Intervall  $\frac{2\pi}{n}u$  über, wobei  $u$  nun den Fourierindex darstellt.

Für die DFT gilt:

$$F_u = \frac{1}{N} \sum_{n=0}^{N-1} f_n \cdot e^{-j\frac{2\pi}{N}u}$$

$$f_n = \sum_{u=0}^{N-1} F_u \cdot e^{j\frac{2\pi}{N}u}$$

### 8.2.2 2-Dimensionale DFT

Die Digitale Bildverarbeitung = 2 dimensionale digitale Signalverarbeitung

—→ Erweiterung der Betrachtung auf 2 Dimensionen.

Zunächst gilt folgende Vereinfachung:

$$e^{j\frac{2\pi}{N}} = w \quad \text{Kern der DFT}$$

$$= \cos\frac{2\pi}{N} + j \sin\frac{2\pi}{N}$$

$$= a + j b$$

—→ Amplitudenspektrum  $|w| = \sqrt{a^2 + b^2}$

—→ Phasenspektrum  $\varphi_{j\omega} = \arctan\frac{b}{a}$

Somit gilt für die 2 DFT folgendes Transformationspaar:

$$F_{u,v} = \frac{1}{N \cdot M} \sum_{n=0}^{N-1} \sum_{m=0}^{M-1} f_{n,m} \cdot e^{-j2\pi\left(\frac{v}{M}m + \frac{u}{N}n\right)}$$

$$f_{n,m} = \sum_{u=0}^{N-1} \sum_{v=0}^{M-1} F_{u,v} \cdot e^{j2\pi\left(\frac{v}{M}m + \frac{u}{N}n\right)}$$

$$F_{u,v} = \frac{1}{N \cdot M} \sum_{n=0}^{N-1} \sum_{m=0}^{M-1} f_{n,m} \cdot w^{-(mv+nu)}$$

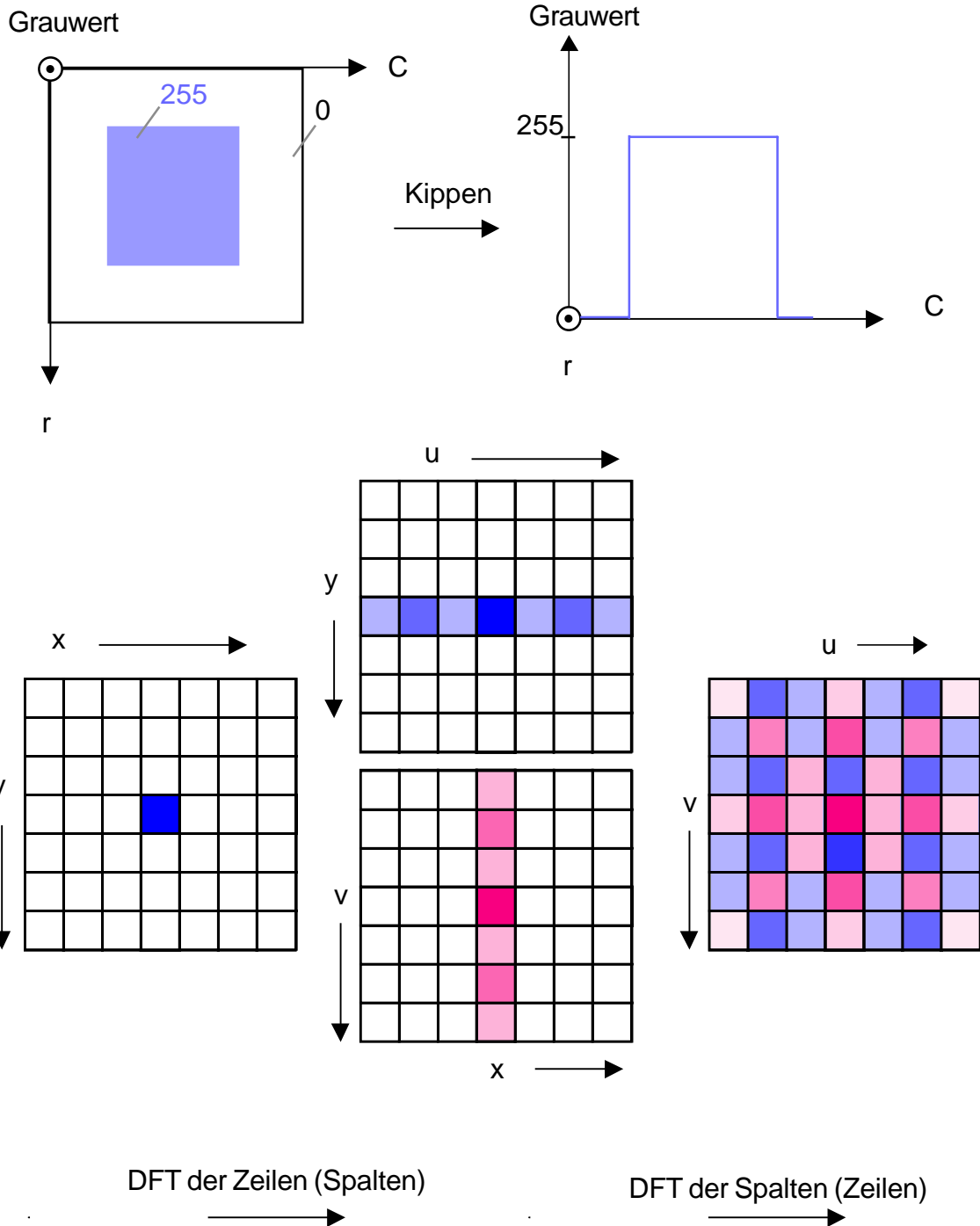
$$= \frac{1}{N \cdot M} \sum_{n=0}^{N-1} \left[ \sum_{m=0}^{M-1} f_{n,m} \cdot w^{-mv} \right] \cdot w^{-nu}$$

$$f_{n,m} = \sum_{u=0}^{N-1} \left[ \sum_{v=0}^{M-1} F_{u,v} \cdot w^{-mv} \right] \cdot w^{-nu}$$

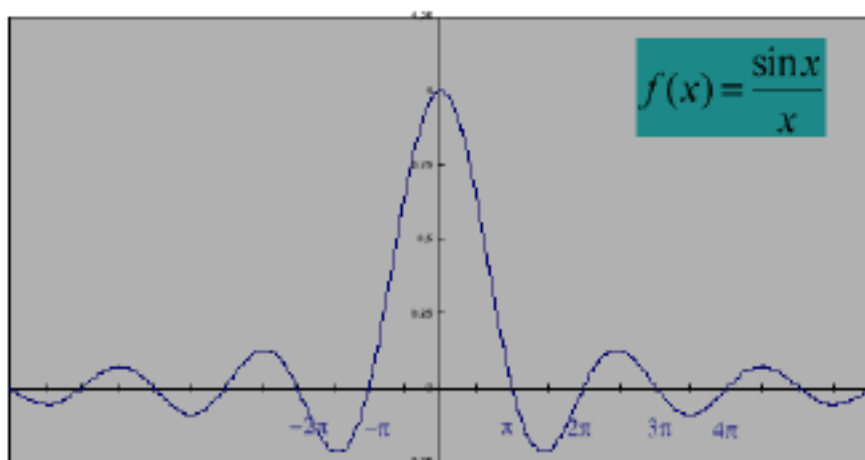


Da die DFT separierbar ist, kann man zunächst eine

- DFT über alle Zeilen bilden und anschließend für die Zwischenergebnisse doe
- DFT über alle Spalten durchführen

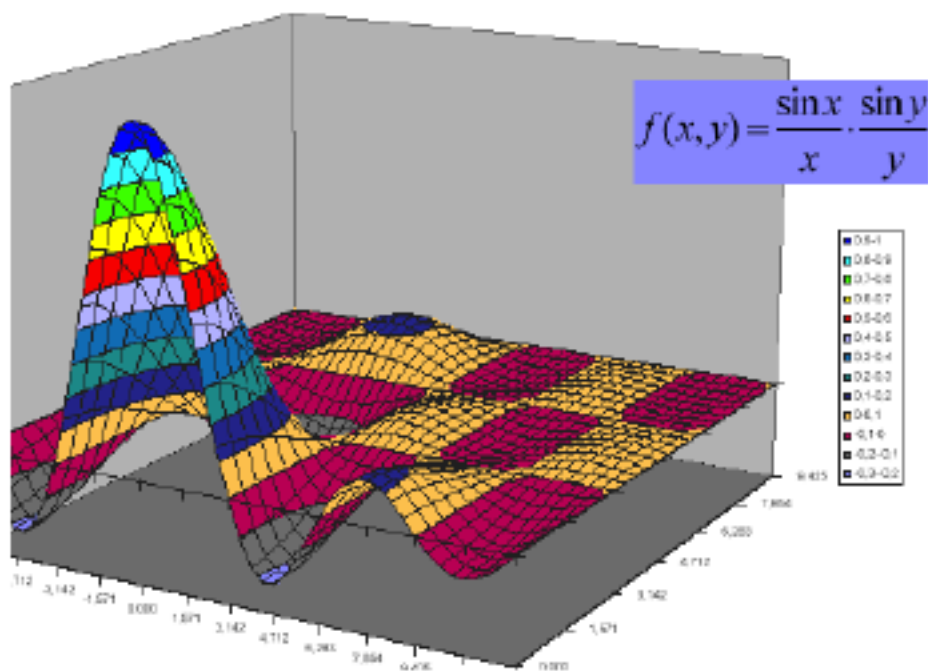


Beispiel eines zweidimensionalen, ortsabhängigen Bildsignals



1D-SINC-Funktion

2D-Sinc - Die ideale Rekonstruktionsfunktion



2D-SINC-Funktion

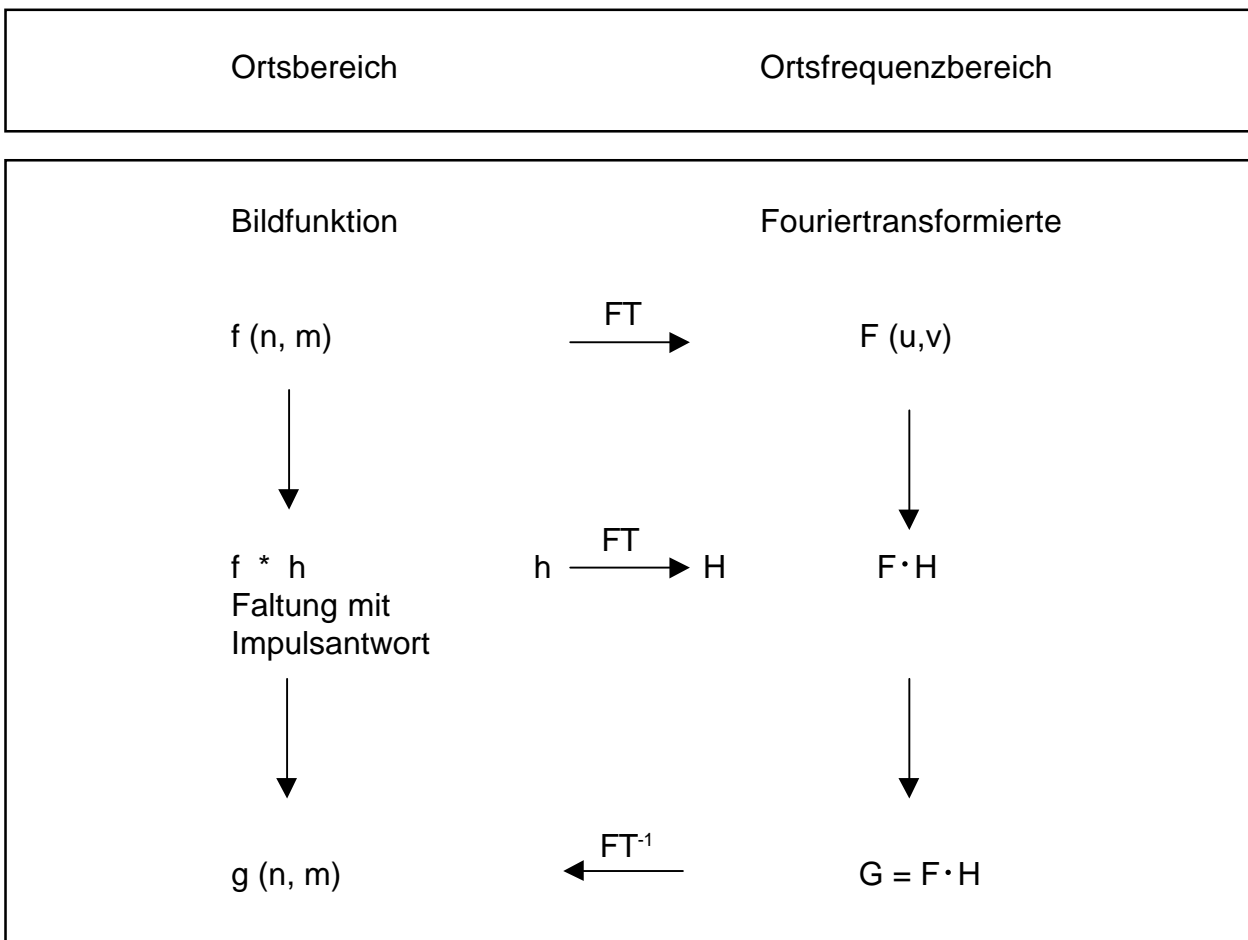


### 8.3 Digitale Filterung im Ortsfrequenzbereich

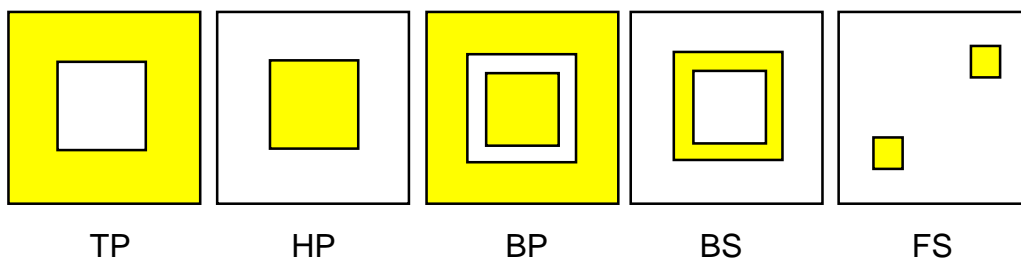
Die digitale Filterung besteht nun aus der Faltung der Ortsfrequenzfunktion  $F_{uv}$  mit einer Operatorfunktion  $H_{uv}$ .

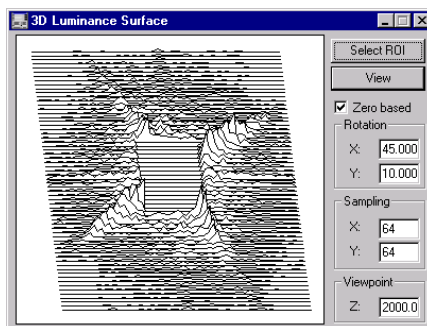
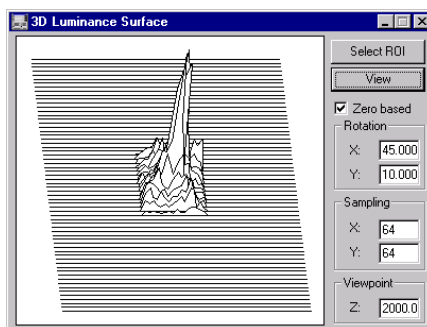
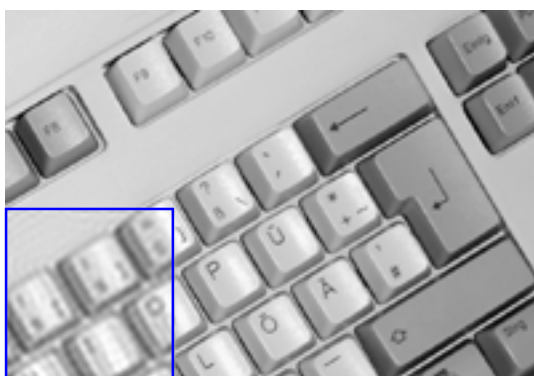
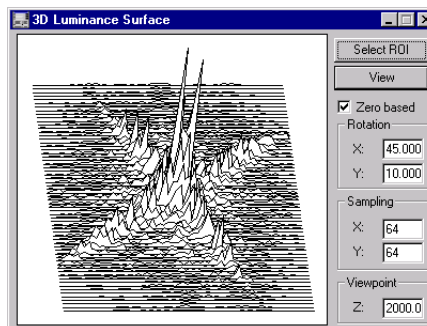
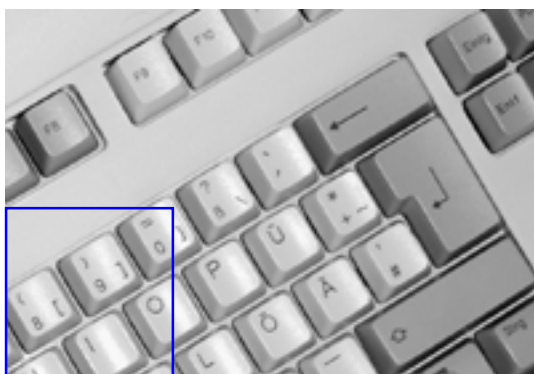
$$G_{uv} = F_{uv} \cdot H_{uv}$$

Je nach Beschaffenheit der Operatorfunktion  $H_{uv}$  spricht man von TP, HP, BP, BS usw.

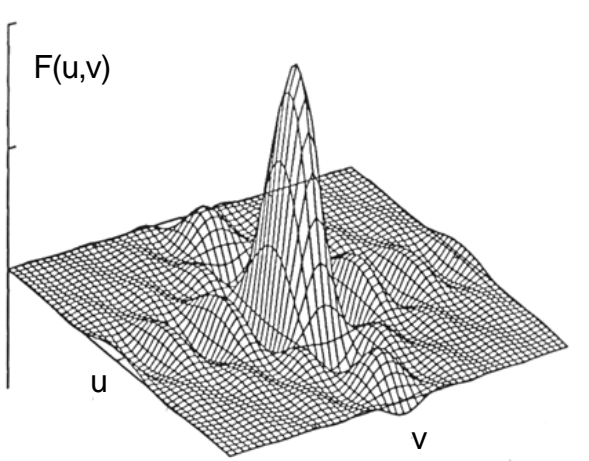
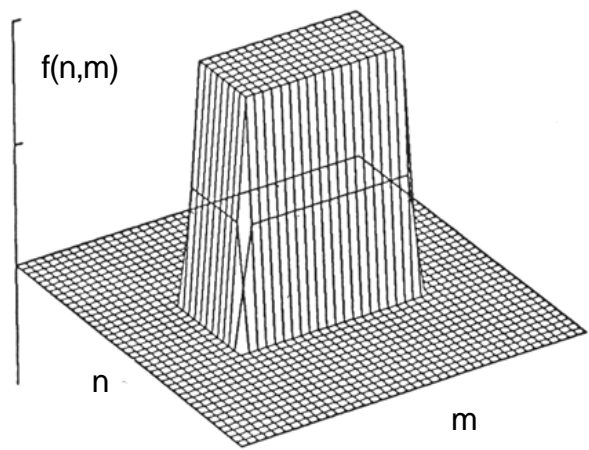
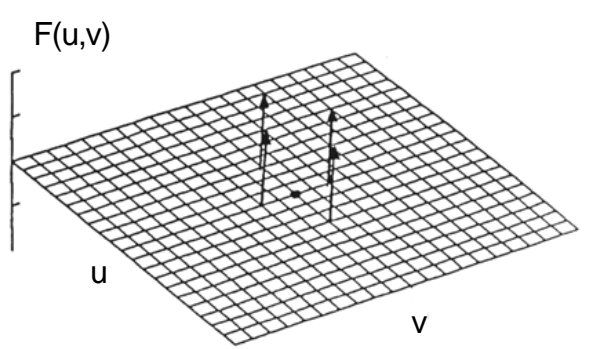
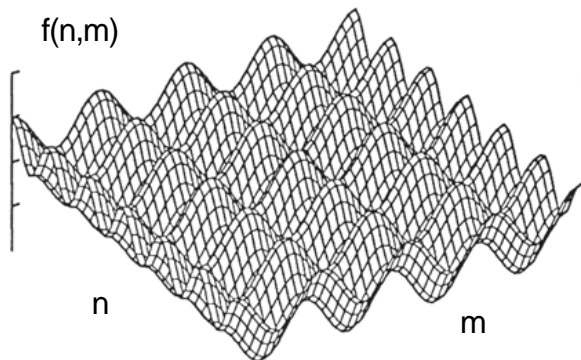
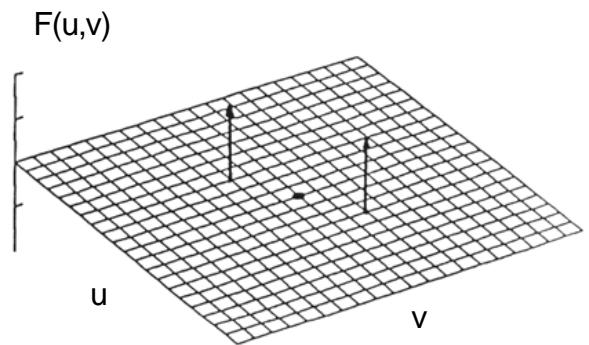
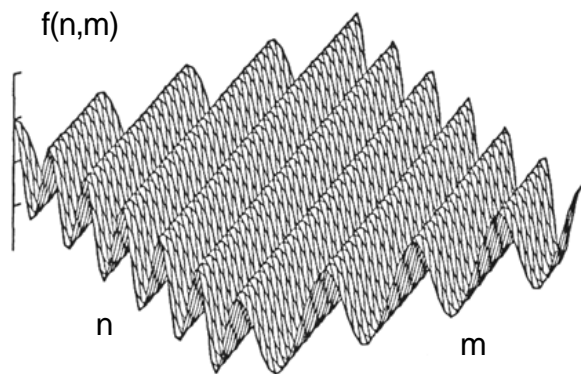


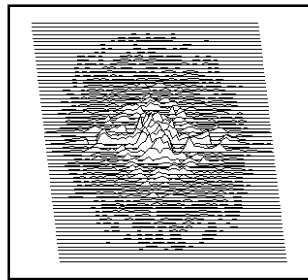
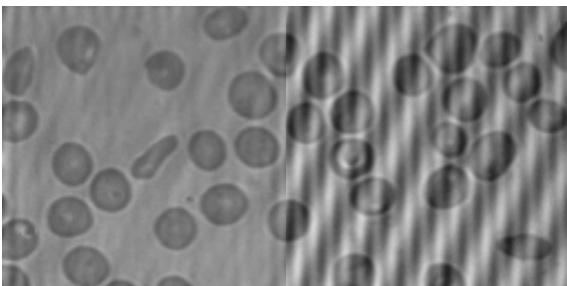
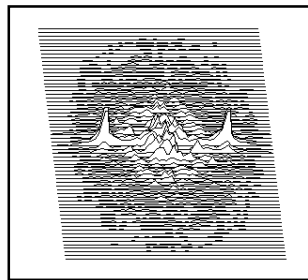
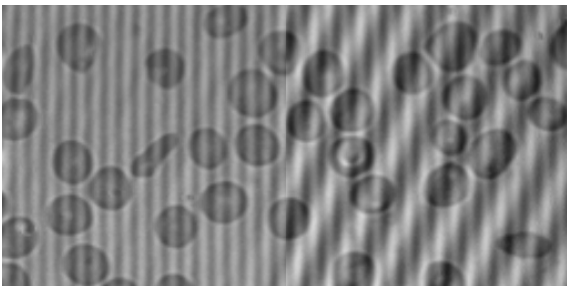
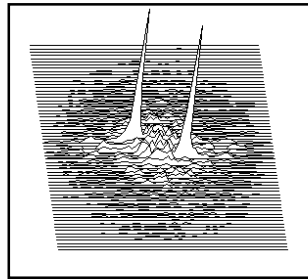
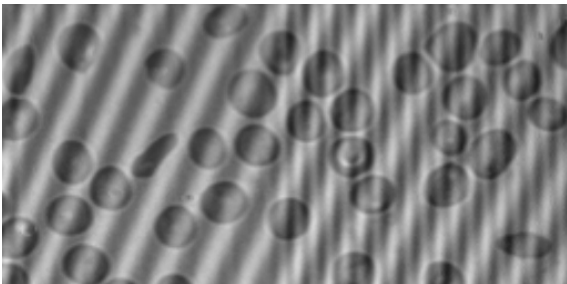
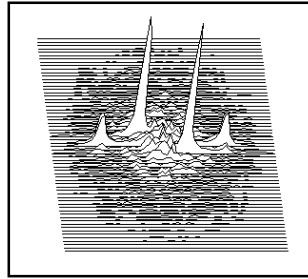
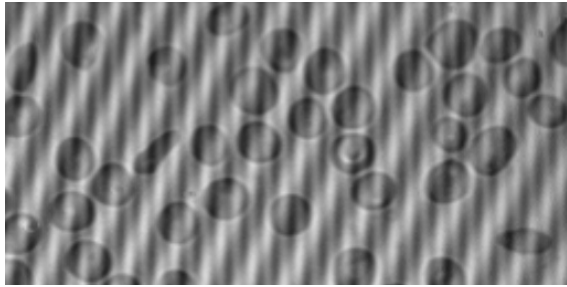
Beispiele Digitale Filterung im Ortsfrequenzbereich:





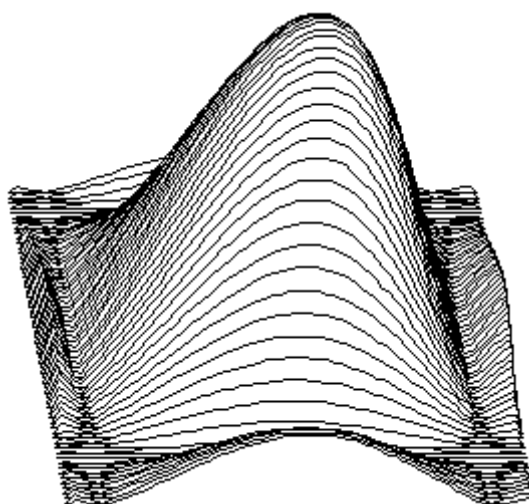
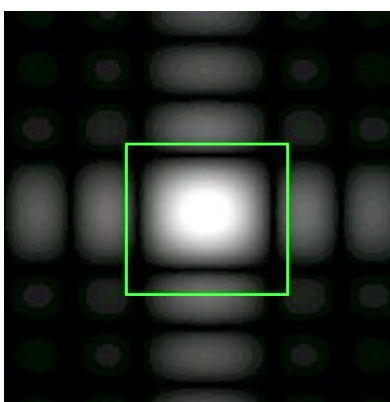
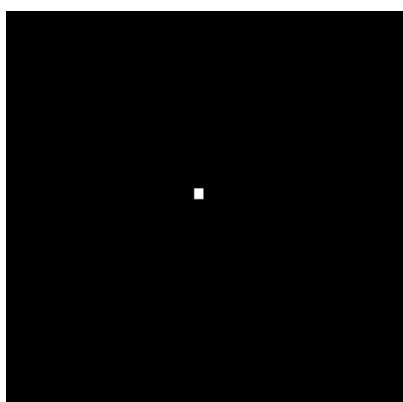
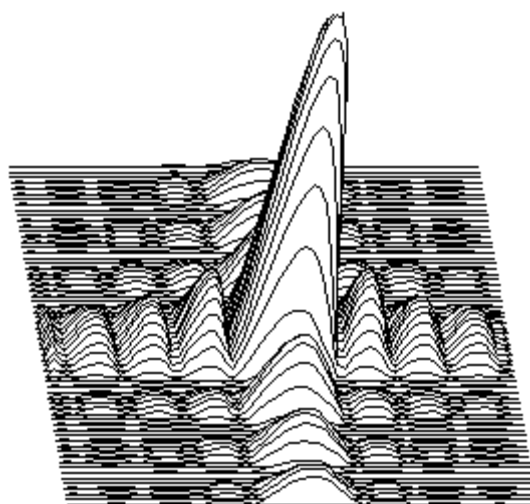
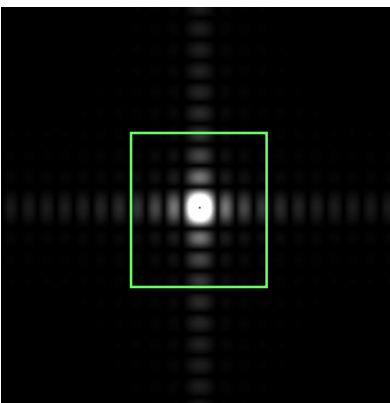
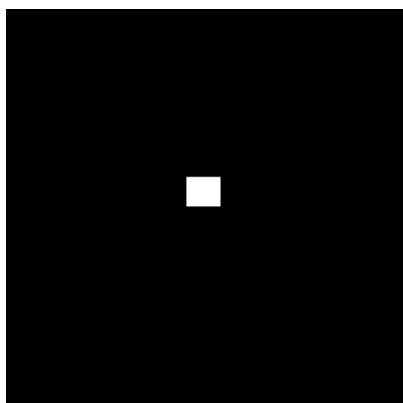
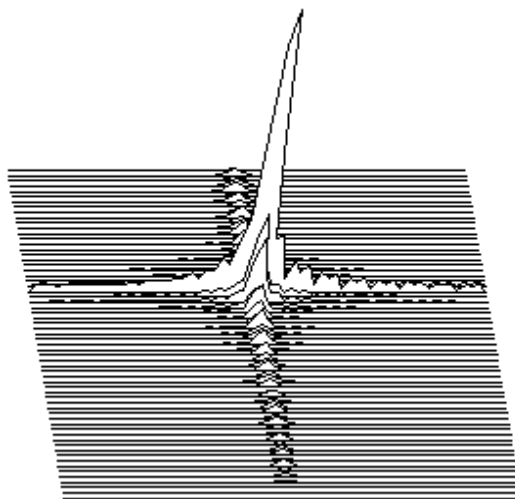
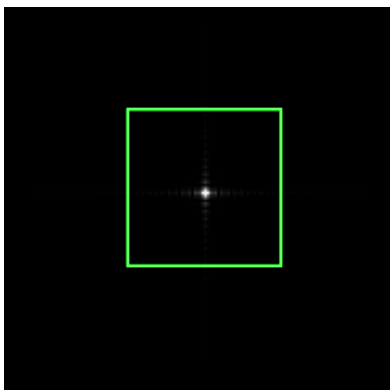
**Globale Operatoren:**  
HP- und TP-Filterung im Ortsfrequenzbereich





Beispiel von 2D-Fouriertransformationspaaren

FFT und Filterung im Ortsfrequenzbereich



a) 2-dim. Bildsignale

b) Ortsfrequenzspektrum

c) 3-dimensionale Darstellung des Spektrums

Globale Operatoren  
2D FFT von 2-dimensionalen ortsabhängigen Signalen

